

Задача 1.

Задача посвящена анализу переходного процесса в цепи первого порядка, содержащей резисторы, конденсатор или индуктивность. В момент времени $t = 0$ происходит переключение ключа K , в результате чего в цепи возникает переходной процесс.

1. Перерисуйте схему цепи (таблица 2) для Вашего варианта - последним двум цифрам пароля (таблица 1).

2. Выпишите числовые данные для Вашего варианта (таблица 3).

3. Рассчитайте все токи и напряжение на C или L в три момента времени $t: 0-, 0+, \infty$

4. Рассчитайте классическим методом переходный процесс в виде $u_L(t)$, $i_1(t)$, $i_2(t)$, $i_3(t)$, $u_C(t)$ в схемах 1 – 5, $i_1(t)$, $i_2(t)$, $i_3(t)$, $u_C(t)$ в схемах 6 – 10. Проверьте правильность расчетов, выполненных в п. 4, путем сопоставления их с результатами расчетов в п. 3.

5. Постройте графики переходных токов и напряжения, рассчитанных в п. 4.

Определите длительность переходного процесса, соответствующую переходу цепи в установившееся состояние с погрешностью 5%.

6. Рассчитайте ток $i_2(t)$ операторным методом.

Решение.

1.1. Схема цепи

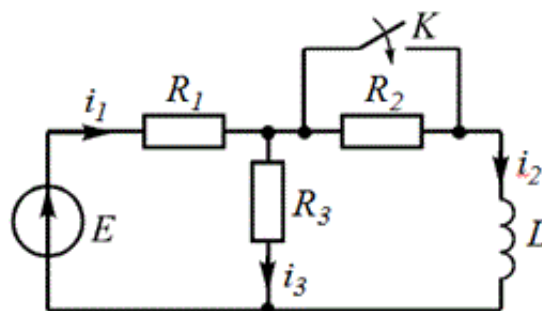


Рис. 1.1 – схема №4

1.2. Параметры электрической цепи:

Таблица 3.

№ вар	$L, мГн$	$R_1, кОм$	$R_2, кОм$	$R_3, кОм$	$E, В$
23	10	1	2	2	12

1.3. Момент времени $t=0^-$. Ключ разомкнут.

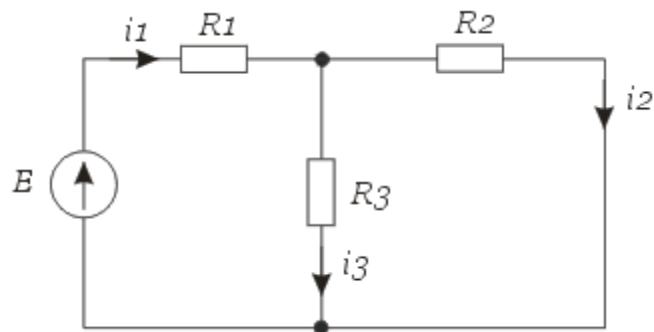


Рис. 1.2

$$i_1(-0) = \frac{E}{R_1 + \frac{R_2 \cdot R_3}{R_2 + R_3}} = \frac{12}{1 + \frac{2 \cdot 2}{2 + 2}} = 6 \quad \text{мА}$$

$$i_2(-0) = i_1(-0) \cdot \frac{R_3}{R_2 + R_3} = 6 \cdot \frac{2}{2 + 2} = 3 \quad \text{мА}$$

$$i_3(-0) = i_1(-0) \cdot \frac{R_2}{R_2 + R_3} = 6 \cdot \frac{2}{2 + 2} = 3 \quad \text{мА}$$

$$u_L(-0) = 0 \quad \text{В}$$

Момент времени $t=0+$ (или $t=0$). Ключ замкнут.

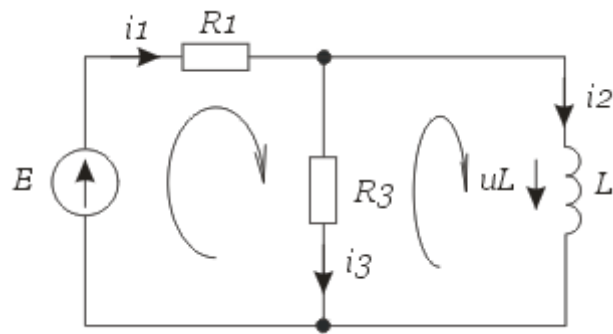


Рис. 1.3

По закону коммутации.

$$i_2(-0) = i_2(0) = 3 \text{ mA}$$

Составляем систему уравнений по законам Кирхгофа для момента $t=0+$.

$$i_1(0) = i_2(0) + i_3(0)$$

$$i_1(0) \cdot R_1 + i_3(0) \cdot R_3 = E$$

$$u_L(0) - i_3(0) \cdot R_3 = 0$$

Решаем систему с учетом закона коммутации, находим значения в момент $t=0$.

$$i_1(0) = 3 + i_3(0)$$

$$i_1(0) \cdot 1 + i_3(0) \cdot 2 = 12$$

$$u_L(0) - i_3(0) \cdot 2 = 0$$

Находим.

$$i_1(0) = 6 \text{ mA} \quad i_3(0) = 3 \text{ mA} \quad u_L(0) = 6 \text{ B}$$

Принужденный режим. Момент времени $t=\infty$. Ключ замкнут и шунтирует сопротивление R_2 . Означает новое стационарное состояние цепи после окончания переходного процесса.

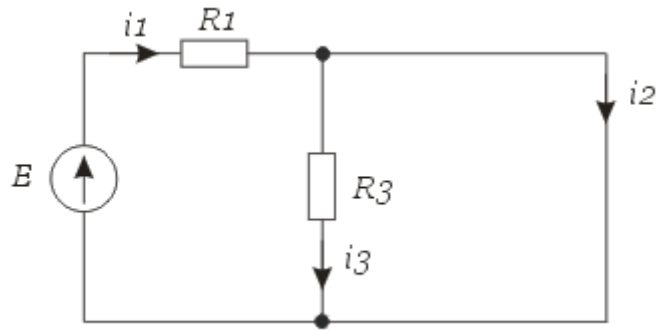


Рис. 1.4

$$i_{1np} = i_{3np} = \frac{E}{R_1} = \frac{12}{1} = 12 \text{ mA}$$

$$i_{2np} = 0 \text{ mA}$$

$$u_{Lnp} = 0 \text{ B}$$

2.1. Характеристическое уравнение для расчета p составляется по операторной схеме замещения, отражающей работу цепи после коммутации.

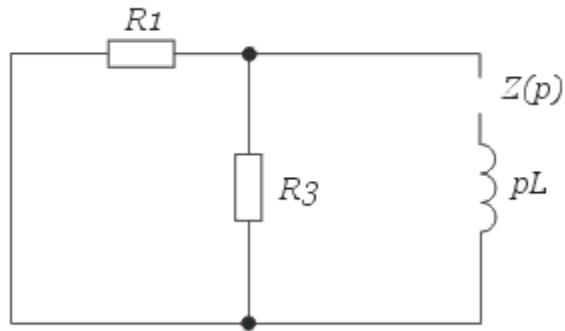


Рис. 1.5

$$Z(p) = p \cdot L + \frac{R_1 \cdot R_3}{R_1 + R_3} = 0$$

$$p \cdot 10 \cdot 10^{-3} + \frac{1000 \cdot 2000}{1000 + 2000} = 0$$

Находим корень.

$$p = -\frac{200000}{3}$$

Постоянная времени цепи.

$$\tau = \frac{1}{|p|} = \frac{3}{200000} = 15 \cdot 10^{-6} \text{ с}$$

2.2. Расчет токов и напряжения $u_L(t)$.

$$i_1(t) = i_{1np} + (i_1(0) - i_{1np}) \cdot e^{p \cdot t} = 12 + (6 - 12) \cdot e^{-\frac{200000}{3} \cdot t} = 12 - 6 \cdot e^{-\frac{200000}{3} \cdot t} \text{ mA}$$

$$i_2(t) = i_{2np} + (i_2(0) - i_{2np}) \cdot e^{p \cdot t} = 12 + (3 - 12) \cdot e^{-\frac{200000}{3} \cdot t} = 12 - 9 \cdot e^{-\frac{200000}{3} \cdot t} \text{ mA}$$

$$i_3(t) = i_{3np} + (i_3(0) - i_{3np}) \cdot e^{p \cdot t} = 0 + (3 - 0) \cdot e^{-\frac{200000}{3} \cdot t} = 3 \cdot e^{-\frac{200000}{3} \cdot t} \quad \text{мА}$$

$$u_L(t) = u_{Lnp} + (u_L(0) - u_{Lnp}) \cdot e^{p \cdot t} = 0 + (6 - 0) \cdot e^{-\frac{200000}{3} \cdot t} = 6 \cdot e^{-\frac{200000}{3} \cdot t} \quad \text{В}$$

2.3. Проверка с пунктом 1.3.

$$i_1(0) = 6 \quad \text{мА} \quad i_{1np} = 12 \quad \text{мА}$$

$$i_2(0) = 3 \quad \text{мА} \quad i_{2np} = 12 \quad \text{мА}$$

$$i_3(0) = 3 \quad \text{мА} \quad i_{3np} = 0 \quad \text{мА}$$

$$u_L(0) = 6 \quad \text{В} \quad u_{Lnp} = 0 \quad \text{В}$$

Полученные значения совпадают с результатами пункта 1.3.

3. Построение графиков переходного процесса на интервале $[0, 3 \cdot \tau]$.

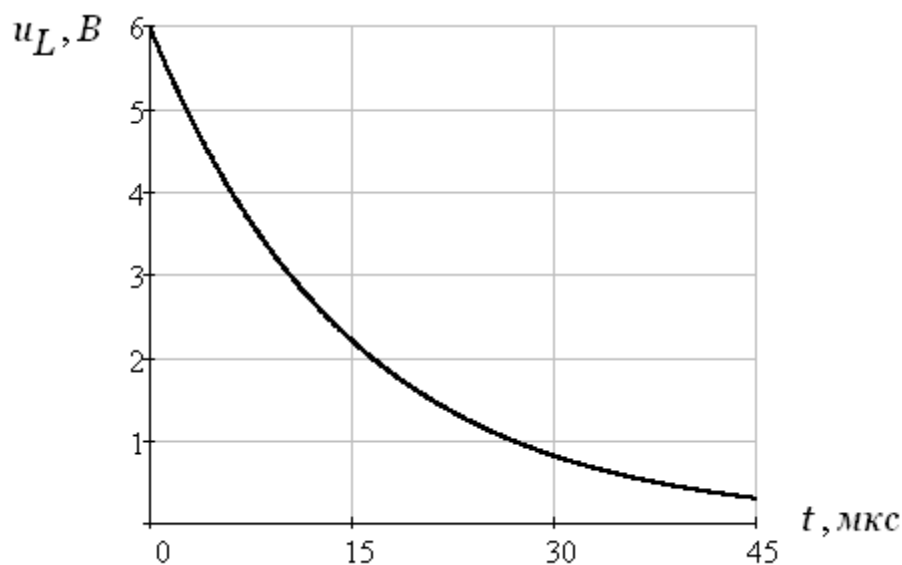


Рис. 1.6 – напряжение на индуктивности

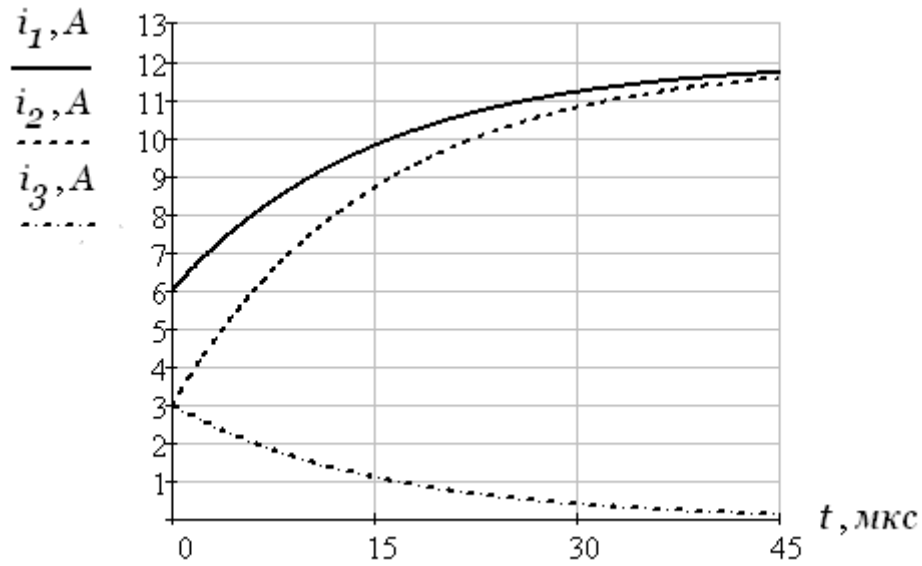


Рис. 1.7- токи в ветвях цепи

4. Расчет тока $i_2(t)$ операторным методом.

Составим операторную расчетную схему с учетом независимого начального условия.

$$i_2(0) = 3 \text{ мА}$$

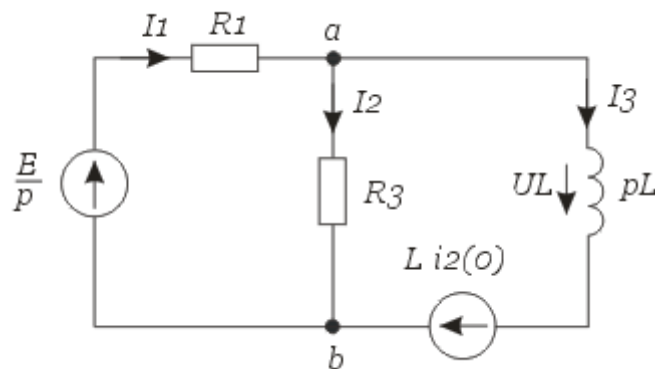


Рис. 1.8 – операторная схема замещения

Используя закон Ома, в операторной форме, запишем

$$I_2(p) = \frac{U_{ab}(p) + L \cdot i_2(0)}{p \cdot L}$$

Где,

$$U_{ab}(p) = \frac{\frac{E}{p} \cdot \frac{1}{R_1} - L \cdot i_2(0) \cdot \frac{1}{p \cdot L}}{\frac{1}{R_1} + \frac{1}{p \cdot L} + \frac{1}{R_3}}$$

После подстановок находим операторный ток $I_2(p)$.

$$I_2(p) = \frac{\frac{\frac{E}{p} \cdot \frac{1}{R_1} - L \cdot i_2(0) \cdot \frac{1}{p \cdot L}}{\frac{1}{R_1} + \frac{1}{p \cdot L} + \frac{1}{R_3}} + L \cdot i_2(0)}{p \cdot L} = \dots$$

$$\dots = \frac{\frac{\frac{12}{p} \cdot \frac{1}{1000} - 10 \cdot 10^{-3} \cdot 3 \cdot 10^{-3} \cdot \frac{1}{p \cdot 10 \cdot 10^{-3}}}{\frac{1}{1000} + \frac{1}{p \cdot 10 \cdot 10^{-3}} + \frac{1}{2000}} + 10 \cdot 10^{-3} \cdot 3 \cdot 10^{-3}}{p \cdot 10 \cdot 10^{-3}} = \frac{0.003 \cdot p + 800}{p \cdot \left(p + \frac{200000}{3} \right)}$$

$$I_2(p) = \frac{0.003 \cdot p + 800}{p \cdot \left(p + \frac{200000}{3} \right)} = \frac{F_1(p)}{p \cdot F_2(p)}$$

Находим оригинал по теореме разложения.

$$i_2(t) = \frac{F_1(0)}{F_2(0)} + \frac{F_1(p_1)}{p_1 \cdot F_2'(p_1)} \cdot e^{p_1 \cdot t} = \dots$$

$$\dots = \frac{800}{\frac{200000}{3}} + \frac{0.003 \cdot \left(-\frac{200000}{3} \right) + 800}{-\frac{200000}{3}} \cdot e^{-\frac{200000}{3} t} = 0.012 - 0.009 \cdot e^{-\frac{200000}{3} t} = \dots$$

$$\dots = 12 - 9 \cdot e^{-\frac{200000}{3} t} \quad \text{мА}$$

Сравниваем с решением, полученным классическим способом. Результаты совпали.

Задача 2

Задача посвящена временному и частотному (спектральному) методам расчета реакции цепей на сигналы произвольной формы. В качестве такого сигнала используется импульс прямоугольной формы (видеоимпульс).

Электрические схемы цепей (см. рисунок) содержат емкости C или индуктивности L , а также сопротивления R . Для всех вариантов $R_2 = 3R_1$. В схемах, где имеется сопротивление R_3 , его величина $R_3 = 0,2R_1$. Во всех схемах входным напряжением $u_1(t)$ является прямоугольный импульс длительностью t_u и амплитудой U_1 .

Решение.

Схема цепи.

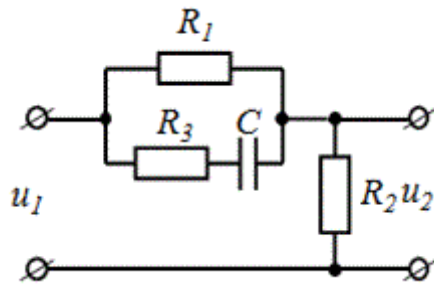


Рис. 2.1- схема №4

Параметры электрической цепи:

Таблица 4.

№ вар	C, нФ	R ₁ , кОм	R ₂ , кОм	R ₃ , кОм	t _в , нс	U ₁ , В
23	30	1	3	0.2	40	5

1. Расчет переходной и импульсной характеристики классическим методом.

1.1. Переходная характеристика цепи рассчитывается, как переходной процесс в виде тока или напряжения, вызванный включением цепи с нулевыми начальными условиями на постоянное напряжение 1 В.

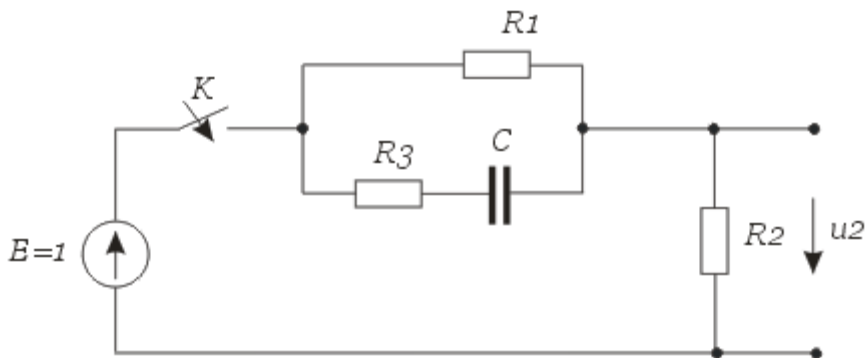


Рис. 2.2

$$g_2(t) = u_{R_2}(t)$$

Характеристическое уравнение.

$$Z(p) = \frac{1}{p \cdot C} + R_3 + \frac{R_1 \cdot R_2}{R_1 + R_2} = 0$$

$$\frac{1}{p \cdot 30 \cdot 10^{-6}} + 200 + \frac{1000 \cdot 3000}{1000 + 3000} = 0$$

$$p = -35087719.298$$

Начальное условие.

$$u_C(0) = 0 \quad B$$

$$u_{R_2}(0) = \frac{1}{\frac{R_1 \cdot R_3}{R_1 + R_3} + R_2} \cdot R_2 = \frac{1}{\frac{1000 \cdot 200}{1000 + 200} + 3000} \cdot 3000 = 0.947 \quad B$$

Принужденное значение.

$$u_{R_2 np} = \frac{1}{R_1 + R_2} \cdot R_2 = \frac{1}{1000 + 3000} \cdot 3000 = 0.75 \quad B$$

Получаем.

$$g_2(t) = u_{R_2 np} + (u_{R_2}(0) - u_{R_2 np}) \cdot e^{p \cdot t} = 0.75 + 0.197 \cdot e^{-35087719.298 \cdot t} \quad B$$

1.2. Находим импульсную характеристику.

$$g_2(0) = 0.947 \quad B$$

$$h_2(t) = g_2(0) \cdot \delta(t) + \frac{d}{dt} g_2(t) = 0.947 \cdot \delta(t) - 6912280.702 \cdot e^{-35087719.298 \cdot t}$$

2. Рассчитываем выходное напряжение $u_2(t)$ временным методом.

2.1. Использование интеграла Дюамеля.

Видеоимпульс прямоугольный, постоянный $U_1=5 \text{ В}$ на участке $(0, t_u)$

$$u'_1(t) = 0 \quad \text{В}$$

Для интервала времени.

$$0 \leq t < t_u$$

$$u_2(t) = U_1 \cdot g_2(t) = 5 \cdot (0.75 + 0.197 \cdot e^{-35087719.298 \cdot t}) = \dots$$

$$\dots = 3.75 + 0.985 \cdot e^{-35087719.298 \cdot t} \quad \text{В}$$

Для интервала времени.

$$t \geq t_u$$

$$u_2(t) = U_1 \cdot g_2(t) - U_1 \cdot g_2(t - t_u) = \dots$$

$$\dots = 3.75 + 0.985 \cdot e^{-35087719.298 \cdot t} - 3.75 - 0.985 \cdot e^{-35087719.298 \cdot (t - 40 \cdot 10^{-9})} = \dots$$

$$\dots = -3.023 \cdot e^{-35087719.298 \cdot t} \quad \text{В}$$

2.2. использование интеграла наложения.

Для интервала времени.

$$0 \leq t < t_u$$

$$u_2(t) = \int_0^t U_1 \cdot (g_2(0) \cdot \delta(t') + h'_2(t - t')) dt' = U_1 \cdot g_2(0) - U_1 \cdot (g_2(0) - g_2(t)) = \dots$$

$$\dots = U_1 \cdot g_2(t) = 3.75 + 0.985 \cdot e^{-35087719.298 \cdot t} \quad B$$

Для интервала времени.

$$t \geq t_u$$

$$u_2(t) = \int_0^{t_u} U_1 \cdot (g_2(0) \cdot \delta(t') + h'_2(t - t')) dt' + \dots$$

$$\dots + \int_{t_u}^t (0 - U_1) \cdot (g_2(0) \cdot \delta(t' - t_u) + 0 \cdot h'_2(t - t')) dt' = \dots$$

$$\dots = -U_1 \cdot g_2(t - t_u) + U_1 \cdot g_2(t) = -3.023 \cdot e^{-35087719.298 \cdot t} \quad B$$

Результат совпадает с пунктом 2.1.

3. Графики входного и выходного напряжения.

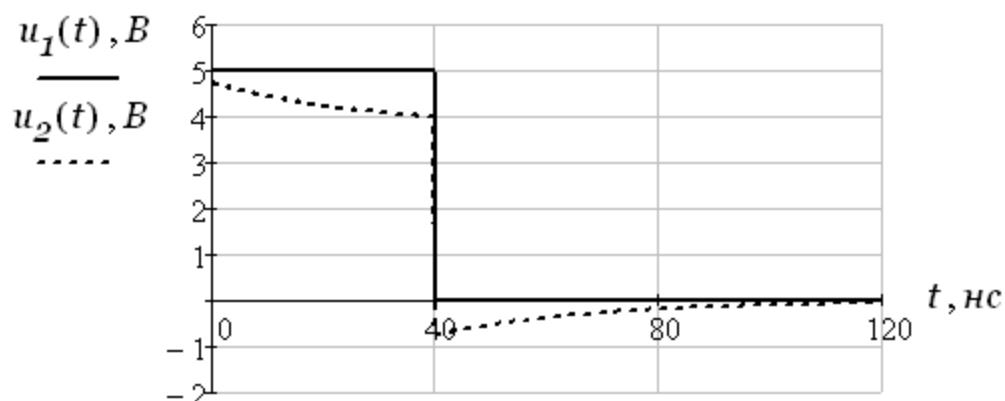


Рис. 2.3

4. Комплексная спектральная плотность входного сигнала.

$$U_1(j \cdot \omega) = \int_0^{t_u} U_1 e^{j \cdot \omega \cdot t} dt = U_1 \frac{\left(e^{j \cdot \omega \cdot t_u} - 1 \right)}{j \cdot \omega} = \dots$$

$$\dots = \frac{2U_1}{\omega} \frac{\left(e^{j \frac{\omega \cdot t_u}{2}} - e^{-j \frac{\omega \cdot t_u}{2}} \right)}{2j} \cdot e^{j \frac{\omega \cdot t_u}{2}} = U_1 \cdot t_u \frac{\sin\left(\frac{\omega \cdot t_u}{2}\right)}{\frac{\omega \cdot t_u}{2}} \cdot e^{j \frac{\omega \cdot t_u}{2}}$$

Находим комплексную передаточную функцию.

$$H(j \cdot \omega) = \frac{U_2(j \cdot \omega)}{U_1(j \cdot \omega)} = \frac{\frac{U_1(j \cdot \omega)}{R_1 \cdot \left(R_3 - j \frac{1}{\omega \cdot C} \right)} \cdot R_2}{\frac{R_1 + R_3 - j \frac{1}{\omega \cdot C}}{U_1(j \cdot \omega)}} = \frac{R_2}{\frac{R_1 \cdot \left(R_3 - j \frac{1}{\omega \cdot C} \right)}{R_1 + R_3 - j \frac{1}{\omega \cdot C}} + R_2}$$

Комплексная спектральная плотность выходного сигнала.

$$U_2(j \cdot \omega) = H(j \cdot \omega) \cdot U_1(j \cdot \omega) = \frac{R_2}{\frac{R_1 \cdot \left(R_3 - j \frac{1}{\omega \cdot C} \right)}{R_1 + R_3 - j \frac{1}{\omega \cdot C}} + R_2} \cdot U_1 \cdot t_u \frac{\sin\left(\frac{\omega \cdot t_u}{2}\right)}{\frac{\omega \cdot t_u}{2}} \cdot e^{j \frac{\omega \cdot t_u}{2}}$$

5. Расчет и построение графиков модулей спектральных плотностей.

$$U_1(f) = U_1 \cdot t_u \cdot \left| \frac{\sin\left(\frac{2\pi \cdot f \cdot t_u}{2}\right)}{\frac{2\pi \cdot f \cdot t_u}{2}} \right| = \frac{1.592 \left| \sin(125.664 \cdot 10^{-9} f) \right|}{f}$$

$$H(f) = \left| \frac{R_2}{R_1 \cdot \left(R_3 - j \cdot \frac{1}{2\pi \cdot f \cdot C} \right) + R_2} \right| = \dots$$

$$\dots = \left| \frac{R_2 \cdot \left(R_1 + R_3 - j \cdot \frac{1}{2\pi \cdot f \cdot C} \right)}{R_1 \cdot \left(R_3 - j \cdot \frac{1}{2\pi \cdot f \cdot C} \right) + R_2 \cdot \left(R_1 + R_3 - j \cdot \frac{1}{2\pi \cdot f \cdot C} \right)} \right| = \dots$$

$$\dots = \frac{R_2 \cdot \sqrt{(R_1 + R_3)^2 + \left(\frac{1}{2\pi \cdot f \cdot C} \right)^2}}{\sqrt{(R_1 \cdot R_3 + R_1 \cdot R_2 + R_2 \cdot R_3)^2 + \left[(R_1 + R_2) \cdot \frac{1}{2\pi \cdot f \cdot C} \right]^2}} = \dots$$

$$\dots = \frac{0.949 \sqrt{\frac{281.446 \cdot 10^{12}}{f^2} + 14.4}}{\sqrt{\frac{450.314 \cdot 10^{12}}{f^2} + 14.44}}$$

$$U_2(f) = H(f) \cdot U_1(f)$$

Строим графики.

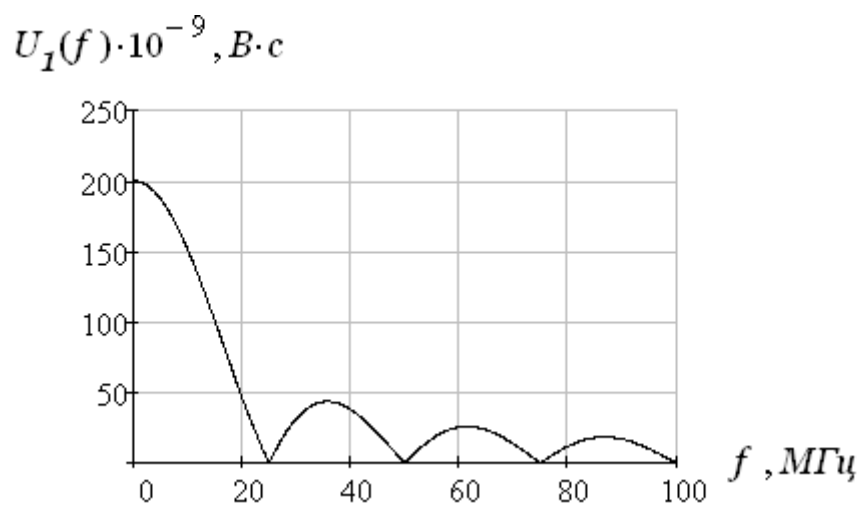


Рис. 2.4

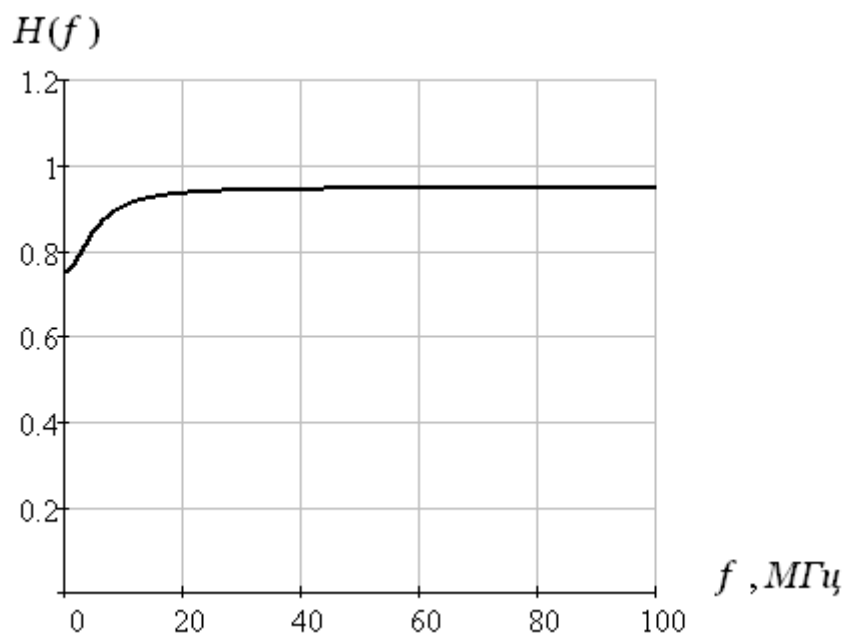


Рис. 2.5

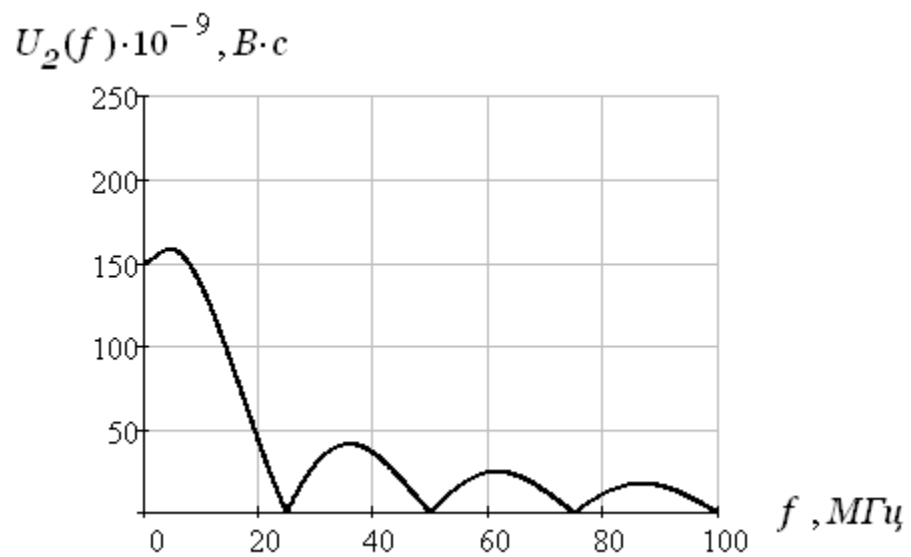


Рис. 2.6

Схема работает, как делитель напряжения (пропускает все частоты), имея меньшее сопротивление на высоких частотах (ослабляет низкие частоты).